

Terminology

- Marginal ice zone:** where open ocean processes dominate
Shear zone: are where much shearing deformation has been concentrated
Polynya: non-linear shaped opening enclosed in ice. Open ocean (SH)/coastal (LH)
Lead: Fracture/passage through ice too wide to jump
Nila: Thin elastic crust upto 10cm. Bends easily
Fast ice: Ice staying fast(attached) to coast/object
New ice: Recently formed –frazil/grease/slush/shuga
Young ice: Ice in transition stage between nila – 1st year ice

Ice climatology

Sea ice area (**extent**) in 10⁶ km²:
 Arctic: Min (Sept): 5 (6.5); Max (Mar): 14 (15)
 Antarctic: Min (Feb): 2 (3); Max (Sept): 16 (19)
 Extent: calculated by perimeter only (border at 15% sea ice concentration)
 Area: takes ice concentration into account throughout

ice growth & equilibrium thickness

Meereisdictheit

Salzgehalt von Meerwasser unter 27,5‰ (z.B. Ostsee):

- Wasser am Gefrierpunkt ist weniger dicht als Wasser bei der maximalen Dichte
- Oberflächenabkühlung kreiert stabiles vertikales Dichteprofil → Oberfläche gefriert ($T_{p,max} > T_f$)
- Gefrierpunkt höher als die Temperatur der maximalen Dichte (z.B. Nordsee):
- Oberflächenabkühlung schafft instabiles vertikales Dichteprofil → konvektives Mischen, je kälter das Wasser, desto dichter ist es ($T_{p,max} < T_f$)
- Einige Meter dicke Schicht, unterkühlt ~1/10°C unter Gefrierpunkt

Meereiswachstum

Angaben aus Aufgabe:

$$T_f = -2^\circ\text{C} \quad T_a = -10^\circ\text{C} \& -20^\circ\text{C} \quad dt = 1 \text{ Tag}$$

Formeln:

$$d = 1.33\theta^{0.58} [\text{cm}]$$

$$\theta = \int (T_f - T_a) dt [\text{ }^\circ\text{C Tage}]$$

Rechnung Beispiel:

$$d(-10^\circ\text{C}) = 1.33 \cdot (-2^\circ\text{C} - (-10^\circ\text{C}))^{0.58} = 4 \text{ cm}$$

$$d(-20^\circ\text{C}) = 1.33 \cdot (-2^\circ\text{C} - (-20^\circ\text{C}))^{0.58} = 7 \text{ cm}$$

Gleichgewichts-Meereis-Dicke

Angaben aus Aufgabe:

$$k_i = 2.1 \frac{W}{mK} \quad T_0 = -32^\circ\text{C} \quad h_i = 10 \text{ cm}$$

$$k_s = 0.2 \frac{W}{mK} \quad T_0 = -2^\circ\text{C} \quad h_s = 30 \text{ cm}$$

Formel:

$$F = \frac{k}{H} \cdot (T_0 - T_f) \text{ ohne Schnee}$$

$$= \left(\frac{h_i}{k_i} + \frac{h_s}{k_s} \right)^{-1} \cdot (T_0 - T_f) \text{ mit Schnee}$$

Mit:

$$k = \text{Wärmeleitfähigkeit}$$

$$H = \text{Eisdicke}$$

$$T_0 - T_f = \Delta T$$

Reziproke Addition:

$$\frac{h}{k} = \frac{h_s}{k_s} + \frac{h_i}{k_i}$$

Wenn d_i gesucht:

$$d_i = \left(\frac{\Delta T}{F} - \frac{h_i}{k_i} \right) k_i \quad \frac{\Delta T}{F} > 0$$

phase diagram & latent heat

$Q_{\text{Schmelz}} = L = 330 \text{ kJ/kg}$

$C_p = \frac{dq}{dt}$

Sea ice growth: $h = \frac{F \cdot \Delta t}{L \cdot \rho_{\text{ice}}}$ [F: energy flux]

Phase diagram -> Gibbs phase rule: $F = C + 1 - P$
 [F: degree of freedom, C: number of components, P: number of phases]

Surface heatbalance&albedo

radiative energy balance: $(1 - \alpha) * S = \sigma * \varepsilon + T^4$ [$\sigma = 5.67 \cdot 10^{-8} \text{ W/(m}^2\text{ K}^4)$]

$$F_{\text{longwave}} = \varepsilon *$$

$\sigma * T_a^4$ [T_a : temperature @ 2m height]

bulkalbedo -> Liste (siehe Skript-Vorlesung 5, Folie 27)

thermal emission: $F = \varepsilon * \sigma * T_0^4$ [T_0 : radiative temperature]

wavelength bands: solar radiation: visible $\lambda_{\text{max}} = 0.5 \mu\text{m}$, earth radiation: infrared $\lambda_{\text{max}} = 12 \mu\text{m}$

Sea ice drift

Sea ice drift – surface stress

Atmospheric and ocean surface stress
 $\vec{\tau}_a = \rho_a C_{da} |\vec{v}_a| \vec{v}_a$ und $\vec{\tau}_w = \rho_w C_{dw} |\vec{v} - \vec{v}_w| (\vec{v} - \vec{v}_w)$
 Near surface wind/current velocity = $|\vec{v} - \vec{v}_a| \approx |\vec{v}_a|$
 Air/water density ρ_a/w

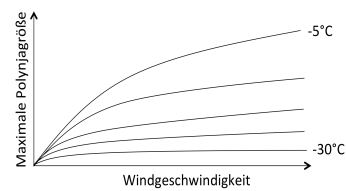
Ice drift velocity calculation:

Ansatz: $|\vec{v}_a| = |\vec{\tau}_w|$

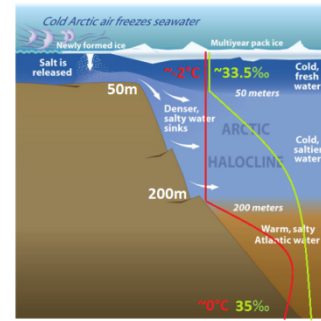
$$v = v_a \sqrt{\frac{\rho_a C_{da}}{\rho_w C_{dw}}}$$

Surface stress

$\vec{\tau} = \vec{F} + \vec{S}$ mit \vec{F} = form drag und \vec{S} = skin drag



Arctic Hydrology



Remote Sensing

SSM/I = passive microwave, low resolution, conically scanning, multi frequency (7 channels), polarisation
 MODIS = optical passive, moderate resolution, infrared to visible (32 channels), no polarization
 SMOS = passive microwave, one frequency, multiple angles, different polarizations
 ICESAT = optical active, laser-altimeter, 2 frequencies
 CryoSat-2 = radar altimeter, microwave range

Observations and sensors

Thickness – altimeter
 Sea ice concentration – passive microwave (SSM/I or AMSR-E for higher resolution)
 Sea ice drift – high resolution images

Brightnessstemperature: $T_B = \varepsilon * T$ emissivity * Temperature
 Emissivity: between 0-1 where 1=black body

Reflectivity and emissivity

$R = \left(\frac{n-1}{n+1} \right)^2$ mit $n = \sqrt{\varepsilon}$ mit n = refractive index und $\sqrt{\varepsilon} =$ dielectric constant/ permittivity und R = reflectivity
 $\varepsilon = 1 - R$ mit $\varepsilon =$ emissivity

Dielectric properties

$\varepsilon = \varepsilon' + i\varepsilon''$
 Relative liquid brine volume depends on salinity of brine and temperature
 High conductivity = electromagnetic waves reflect at ice
 Low conductivity = electromagnetic waves penetrate the ice

Prominente Polynjas und ihre Lage

Offenes Meer	Küste
Weddell Polynja	Storfjorden Polynja (Spitzbergen) North-East Water Polynya (Ostgrönlandische Küste, durch Wind- und Ozeanströme) Flow Polynya System (Laptev Sea)

Eis(dicke)produktion in einer Polynja pro Jahreszeit (season)

Arktis: 5 m

Antarktis: 10 m

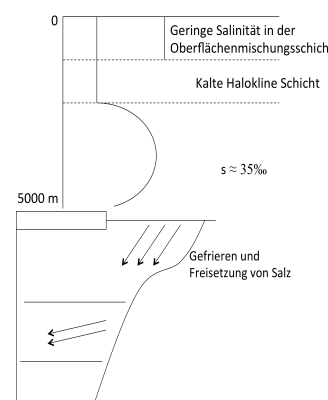
Einfluss von Polynjas auf Sedimenttransport

- Sedimente sind in Eis eingefroren → Werden mit Eis transportiert
- Upwelling: Sedimente werden an die Oberfläche transportiert aufgrund geringer Dichte → verringert Albedo

Biologische Bedeutung von Polynjas

- Primärproduktion im Sommer
- Luftlöcher für Säugetiere
- Wichtig für das Überleben während der Wintermonate für in der Arktis lebende Arten

Wie beeinflussen Polynjas den arktischen Ozean



(siehe auch Hydrology)

Maximale Größe einer Polynja durch die Balance von:

- Temperaturdifferenz
- Windgeschwindigkeit

Schematische Skizze: Beziehung zwischen der maximalen Größe und der Windgeschwindigkeit für verschiedene Temperaturen